

[19]中华人民共和国专利局

[51]Int.Cl<sup>6</sup>

A61K 39/39

A61K 39/02 A61K 39/12



# [12] 发明专利申请公开说明书

[21] 申请号 96193443.3

[43]公开日 1998年5月20日

[11] 公开号 CN 1182370A

[22]申请日 96.4.1

[30]优先权

[32]95.4.25 [33]GB[31]9508326.7

[32]95.6.28 [33]GB[31]9513107.4

[86]国际申请 PCT/EP96/01464 96.4.1

[87]国际公布 WO96/33739 英 96.10.31

[85]进入国家阶段日期 97.10.23

[71]申请人 史密斯克莱·比奇曼生物公司

地址 比利时里克林萨斯

[72]发明人 纳撒利·M-J·C·加肯

马丁·弗里德

[74]专利代理机构 柳沈知识产权律师事务所

代理人 巫肖南

权利要求书 1 页 说明书 19 页 附图页数 0 页

[54]发明名称 含有皂苷和固醇的疫苗

[57]摘要

本发明涉及一种含有抗原，免疫活性的皂苷组分以及固醇的疫苗组合物。

## 权 利 要 求 书

1. 一种含有抗原, 免疫活性皂苷组分和固醇的疫苗组合物。
2. 根据权利要求 1 所述的疫苗组合物, 其中的免疫性皂苷组分是  
5 QS21。
3. 根据权利要求 1 或 2 所述的疫苗组合物, 其中的固醇是胆固醇。
4. 根据权利要求 2 或 3 所述的疫苗组合物, 其中的 QS21: 固醇的比率  
是从 1:100 到 1:1。
5. 根据权利要求 1 到 4 所述的任何一个疫苗组合物, 其还含有 MPL。
- 10 6. 一种如上文中所述要求的含有抗原或者抗原组合物的疫苗组合物, 该  
抗原或者抗原组合物来源于人免疫缺陷性病毒, 猫科免疫缺陷性病毒, 水痘  
带状疱疹病毒, 单疱疹病毒 I 型, 单疱疹病毒 II 型, 人巨细胞症病毒, 甲、  
乙、丙或戊型肝炎病肝, 呼吸道合胞病毒, 人乳头瘤病毒, 流感病毒, Hib,  
脑膜炎病毒, 沙门氏菌, 奈瑟菌属, 疏螺旋体属, 衣原体属, 博代杆菌属,  
15 疟原虫属或者弓形虫属的任何一种。
7. 根据权利要求 1 到 5 所述的任何一个疫苗, 其中的抗原是一种肿瘤抗  
原。
8. 使用如权利要求 1 到 5 所述的任何一个组合物制备用于预防病毒性,  
细菌性, 或者寄生虫性感染的疫苗。
- 20 9. 使用如权利要求 1 到 5 所述的任何一个组合物制备用于免疫治疗病毒  
性, 细菌性, 寄生虫性感染或者肿瘤的疫苗。
10. 一种医治患病原性感染或易受病原性感染的哺乳动物的方法, 其包  
括给予安全且有效剂量的如权利要求 1 到 5 所述的任何一种组合物。
11. 一种治疗患癌症的哺乳动物的方法, 其包括给予安全且有效剂量的  
25 如权利要求 1 到 5 所述的任何一种组合物。
12. 一种制备如权利要求 1 所述的疫苗组合物的工艺, 其包括将免疫活  
性皂苷组分及胆固醇和抗原或者抗原组合物相混合。

# 说明书

## 含有皂苷和固醇的疫苗

5 本发明涉及新的疫苗配方及其制备方法和在医学中的应用。本发明特别涉及那些含有一种抗原，一种来源于 *Quillaja Saponaria Molina* 树皮的免疫活性组分如 QS21，以及一种固醇的疫苗。

来源于南美洲的 *Quillaja Saponaria Molina* 树皮的免疫活性的皂苷组分具有佐剂的活性是本领域内众所周知的。比如 QS21(也称为 QA21)，一种 HPLC  
10 纯化的来源于 *Quillaja Saponaria Molina* 树的组分及其制备方法公开于(作为 QA21)美国专利 5,057,540 中。皂树皮皂苷作为佐剂也已由 Scott 等人披露(Int. Archs. Allergy Appl. Immun., 1985, 77, 409)。然而，QS21 用作佐剂却伴随着某些缺憾。例如，将 QS21 作为游离分子注射入哺乳动物时，可以发现坏死，也就是说在注射部位发生了局部组织坏死。

15 现已意外地发出那种在注射部位的坏死可以通过使用含有 QS21 和固醇相组合的配方而得以避免。优选的固醇包括  $\beta$ -谷固醇，豆固醇，麦角固醇，麦角钙化(固)醇和胆固醇。这些固醇是本领域内众所周知的，比如胆固醇作为一种天然的发现于动物脂肪的固醇见于默克索引(Merck Index)，第 11 版，341 页。

20 因此，本发明的第一个方面是提供一种含有抗原，免疫活性的皂苷组分和固醇的疫苗组合物。本发明的组合物优选地含有大体上纯的免疫活性皂苷组分。本发明的组合物优选地含有大体上纯的 QS21，也就是说该 QS21 是至少 90 % 纯的，优选地是 95 % 纯的而最优选地是 98 % 纯的。其它在本发明的组合物中有用的免疫活性皂苷组分包括 QA17/QS17。含有 QS21 和胆固醇  
25 的本发明组合物相比于无胆固醇的组合物表现出了降低的反应原性，而其佐剂的效果却不变。此外，已知该 QS21 在 pH 约为 7 或更高的碱性环境中降解。本发明还有一个优越性是 QS21 在含有胆固醇的配方中对碱介导的水解的稳定性增强。

30 本发明优选的组合物是那些形成了脂质体结构的。那些其中的固醇/免疫活性的皂苷组分形成了 ISCOM 结构的组合物也构成了本发明的一个方面。

QS21：固醇的比率通常为大约 1:100 到 1:1 的重量比(W/W)。固醇优选

地以过量存在，而 QS21：固醇的比率至少为 1: 2W/W。用于对人类给药的疫苗中，QS21 和固醇通常是以每剂量大约 1 微克到 100 微克的范围，优选地为大约 10 微克到 50 微克的范围存在。

5 该脂质体优选地含有中性脂，如磷脂酰胆碱，其优选地在室温下是非晶态的，如蛋黄磷脂酰胆碱，二油酰磷脂酰胆碱或二月桂酰磷脂酰胆碱。该脂质体也可以含有带电的脂质，其能提高脂质体 - QS21 结构(其中的脂质体是由饱和脂所构成的)的稳定性。在这些情况下，该带电的脂质的量优选地为 1 - 20 % W/W，最优选地为 5 - 10 %。固醇对磷脂的比率为 1 - 50 % (mol/mol)，最优选地为 20 - 25 %。

10 本发明的组合物优选地含有 MPL(3 - 脱酰单 - 磷酸类脂 A，也称作 3D - MPL)。而作为 3 种脱 - 氧 - 酰化的单磷酸类脂 A 和 4, 5 或 6 酰化的链的混合物的 3D - MPL 见于 GB 2220211(Ribi)中并由蒙大拿的 Ribi 免疫化学公司制备。国际专利申请 92/116556 公开了一个优选的存在形式。

15 本发明的合适的组合物是那些其中的脂质体最初是在无 MPL 下制备，然后，再加入，优选地为 100nm 的颗粒的 MPL。因此，该 MPL 没有包含在囊泡膜内(称为 MPL 外)。而那些其中的 MPL 包含在囊泡膜内的组合物(称为 MPL 内)也构成了本发明的一个方面。该抗原可以包含于囊泡膜内或外。优选地，可溶性抗原是包含于膜外的而疏水性的或者脂化的抗原则既可以包括于膜外又可以包括于膜内。

20 本发明的疫苗通常无需任何特殊的载体而可以在水或者其它的药物可接受的缓冲液中配制。在某些情况下可能有益的是本发明的疫苗还可以含有明矾或者存在于水包油的乳剂中，或者其它合适的赋形剂内，如脂质体，微球体或者微囊化的抗原颗粒。

25 该疫苗配方优选地含有一种能够诱发可以抵抗人类或者动物病原体的免疫反应的抗原或者抗原组合物。在本领域已知的抗原或者抗原组合物可以用于本发明的组合物中，其包括多糖类抗原，源于 HIV - 1 的(如 gP120 或 gP160)，任何猫科动物免疫缺陷病毒，人或动物疱疹病毒，如 gD 或其衍生物或源于 HSV<sub>1</sub> 或 HSV<sub>2</sub> 的直接早期蛋白如 ICP27，巨细胞病毒(特别是人)(如 gB 或其衍生物)，水痘带状疱疹病毒(如 gP1, II 或 III)的抗原或者抗原组合物，或者源于诸如乙肝病毒的肝炎病毒的抗原如乙肝表面抗原或其衍生的甲  
30 肝病毒，丙肝病毒和戊肝病毒的抗原或者抗原组合物，或者来源于其它病毒

性致病原的抗原,如呼吸道合胞病毒(如美国专利 5,149,650 中公开的 HSRV F 和 G 蛋白或其免疫片段或者美国专利 5,194,595 中公开的含有来源于 HSRV 蛋白 F 和 G 的免疫片段的嵌合多肽,如 FG 糖蛋白),来源于脑膜炎菌株如甲,乙和丙型脑膜炎,肺炎链球菌,人乳头瘤病毒,流感病毒, B 型流感嗜血杆菌(Hib), EB 病毒(EBV)的抗原,或者来源于细菌性病原如沙门氏菌,疏螺旋体属(例如 OspA 或 OspB 或其衍生物),或者衣原体属,或者博代杆菌属如 P. 69, PT 和 FHA 的抗原,或者来源于寄生虫如疟原虫属或弓形虫属的抗原。

HSV 糖蛋白 D(gD)或衍生物是优选的疫苗抗原。其位于病毒膜上,并且也见于感染的细胞的胞质中(Eisenberg R. J.等人; 病毒学杂志 1980 35 428 - 435)。其含有包括一个信号肽的 393 个氨基酸且分子量约为 60KD。它可能是所有 HSV 被膜糖蛋白中特性最优者(Cohen 等人, 病毒学杂志 60 157 - 166)。已知其在体内对病毒吸附于细胞膜起着重要的作用。此外,糖蛋白 D 在体内已表现出能诱发中和抗体并防止动物受致命的攻击。平头型的 gD 分子没有 C 末端锚形区且能够以可溶蛋白形式在哺乳动物细胞内产生,然后再分泌到该细胞培养的上清液中。该可溶型的 gD 是优选的。平头型的 gD 分子的生产见于 EP 0139417 中。该 gD 优选地来源于 HSV - 2。本发明的一个实施例是 308 个氨基酸平头型 HSV - 2 糖蛋白 D, 其含有天然糖蛋白中的氨基酸 1 - 306, 并在无膜锚形区的平头型蛋白的 C 末端加入天冬酰胺和谷氨酰胺。此类蛋白包括信号肽,而信号肽裂解后便于该成熟的含有 283 氨基酸的可溶蛋白从宿主细胞中分泌出来。

在本发明的另一方面,乙肝表面抗原是优选的疫苗抗原。

这里用的“乙肝表面抗原”或者‘HBsAg’一词包括任何 HBsAg 抗原或其表现出 HBV 表面抗原的抗原性的片段。可以理解的是,除了该 HBsAg 抗原的 226 个氨基酸(见于 Tiollais 等人,自然, 317,489(1985)及其中的参考文献)外,若需要,这里所述的 HBsAg 可以包括全部的或者部分的上述参考文献及 EP - A - 0278940 中所述的一种前 - S 序列。特别地,该 HBsAg 可以包括含有一种氨基酸序列的多肽,该氨基酸序列先后分别包括对应于一种近血清型的乙肝病毒的开放阅读框的 HBsAg 的 L - 蛋白的 12 - 52 残基、133 - 145 残基、175 - 400 残基(此多肽是指 L\*; 见于 EP 0414374)。在本发明的范围内的 HBsAg 还可以含有 EP 0198474(Endotronics)中所述的前 - S<sub>1</sub> - 前 S<sub>2</sub> - S 多肽或者其严格的如 EP 0304578(Mc Cormick 和 Jones)中所述

的类似物。这里所述的 HBsAg 还能指突变体，比如 WO 91/14703 或欧洲专利申请 0511855 A1 中所述‘逃避突变体’，尤其指在其中的 145 位氨基酸处由精氨酸取代了甘氨酸的 HBsAg。

5 该 HBsAg 一般是微粒型的。该微粒可以单独含有诸如 S 蛋白或者是组合微粒，如 (L\*, S)，其中的 L\* 如上文定义而 S 则指 HBsAg 的 S - 蛋白。该微粒最好是以在酵母中表达的形式。

10 乙肝表面抗原 S - 蛋白的制备是有充分的文献报道的。例如见于 Harford 等人(1983)，发育生物学规范(Develop. Biol. Standard)54, 125 页，Gregz 等人(1987)，生物技术，5, 479 页，EP 0226846，EP 0299108 及其中的参考文献。

在本发明的范围内的配方还可以含有抗 - 肿瘤抗原并用于肿瘤的免疫治疗。

15 通常，疫苗的制备见于 Voller 等人编辑的疫苗新趋势和进展(Park 大学出版社，巴尔的摩，马里兰州，美国，1978)。在脂质体中成囊见于诸如 Fullerton，美国专利 4,235,877 中。和蛋白质结合成大分子则公开于诸如 Lkhite，美国专利 4,372,945 和 Armor 等人的美国专利 4,474,757。

20 将每个疫苗剂量中的蛋白量定为能在常规疫苗中诱发免疫保护反应却不引起明显的副作用的量。此量的变化依赖于使用的具体免疫原以及其存在形式。一般地，所期望的是每个剂量中包含有 1 - 1000 微克蛋白，优选地为 2 - 100 微克，最优选地为 4 - 40 微克。微粒疫苗的最佳量可以通过包括检测实验对象的合适的免疫反应在内的常规研究而确定。初次接种后，受试对象还可以在充分的时间间隔后再接受一次或者几次加强接种。

本发明的配方既可用于预防，又可用于治疗目的。

25 相应地，本发明还有一个方面就是提供了本发明的疫苗的治疗病人的应用。本发明提供了一个包括对病人给予有效剂量的本发明的疫苗的治疗方法。本发明尤其是提供了一个包括对病人给予有效剂量的本发明的疫苗从而治疗病毒性的，细菌性的，寄生虫性的感染或者肿瘤的方法。

下列实施例和数据阐明了本发明。

## 实施例

### 30 1.1 制备脂质体的方法

将置于有机溶剂中的脂质(如来源于蛋黄的或者合成的磷脂酰胆碱)和胆



固醇的混合物在真空(或者惰性气流)下干燥。然后,加入一种水溶液(如磷酸盐缓冲液),振荡该容器直至脂质全部进入悬浊液中。然后,将该悬浊液微观流化直至该脂质体大小降至 100nm,再通过 0.2  $\mu\text{m}$  的滤器进行无菌过滤。挤压和声处理可以代替该步骤。该胆固醇,磷脂酰胆碱的常规比率是 1:4(W/W),而加入的水溶液使胆固醇的终浓度为 5 - 50mg/ml。如果将置于有机溶液的 MPL 加入溶于有机溶液的脂质内,那么最终的脂质体含有的 MPL 在膜内(指 MPL 内)。

将该脂质体的大小规定为 100nm 并且是指 SUV(小单室囊泡)。如果反复冻融该溶液,那么囊泡融合成大小为 500nm 至 15  $\mu\text{m}$  的大的多室结构。该脂质体本身是可以长期稳定的且没有致融能力。

### 1.2 配制步骤

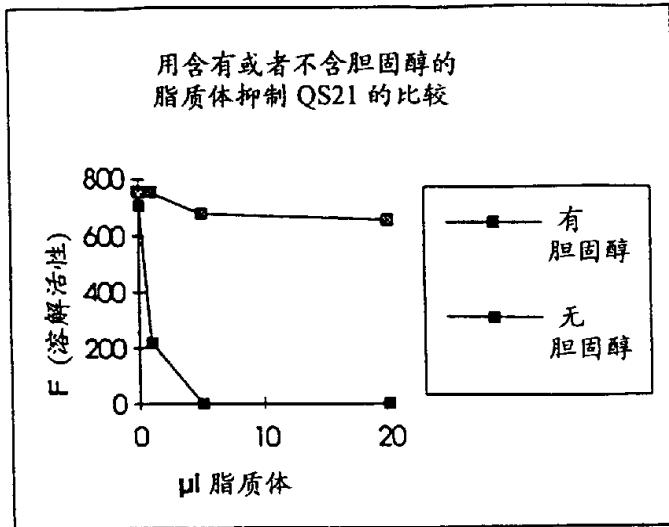
将 QS21 水溶液加入该脂质体中。然后,将该混合物加入到抗原溶液中,并且若需要,还可以含有呈 100nm 微粒状的 MPL。

### 1.3 含有胆固醇的脂质体抑制 QS21 的溶解活性

当 QS21 加入到红细胞中时可以溶解红细胞使其释放血红蛋白。该溶解活性也可以使用含有存在于膜内的胆固醇以及捕获的荧光染料,羧荧光素的脂质体进行检测 - 当该脂质体被溶解时便释放染料,而该染料又可用荧光分光镜进行检测。若在荧光脂质体的膜内不含胆固醇,那么不会观察到溶解作用。

若在加入到红细胞中之前,将该 QS21 和含有胆固醇的脂质体共同培育,那么该红细胞的溶解依赖于胆固醇对 QS21 的比率而降低。若使用的比率为 1:1,则没有检测到溶解活性。如果该脂质体不含胆固醇,则抑制溶解需要比 QS21 过量 1000 倍的磷脂。

用荧光脂质体检测溶解活性同样有效。在下图中,通过荧光检测了用无胆固醇(1 mg/ml 蛋黄磷脂酰胆碱)或含有胆固醇(1 mg/ml 磷脂酰胆碱, 500  $\mu\text{g}$  胆固醇)的脂质体处理的 4  $\mu\text{g}$  QS21 的溶解活性。



5

10 数据显示 QS21 在膜内以特定的方式和胆固醇结合, 从而引起溶解(细胞的或者荧光脂质体的)。如果 QS21 首先和脂质体中的胆固醇结合, 那么不再溶解细胞或其它脂质体。这要求胆固醇: QS21(W/W)的最低比率为 0.5: 1。

胆固醇在水溶液中不溶且也不能形成稳定的悬浊液。当有磷脂存在时, 该胆固醇存在于磷脂双分子层中并能形成称为脂质体的稳定的囊泡悬浊液。

15 为了避免需要加入磷脂而试验了一个可溶的衍生物。聚氧乙烷胆固醇癸二酸盐在水中的溶解能力达到 60mg/ml, 然而, 既使使用超过 QS21 2000 倍的量, 也没有检测到 QS21 溶解活性的降低。

#### 1.4 含有胆固醇的脂质体增加了 QS21 的稳定性

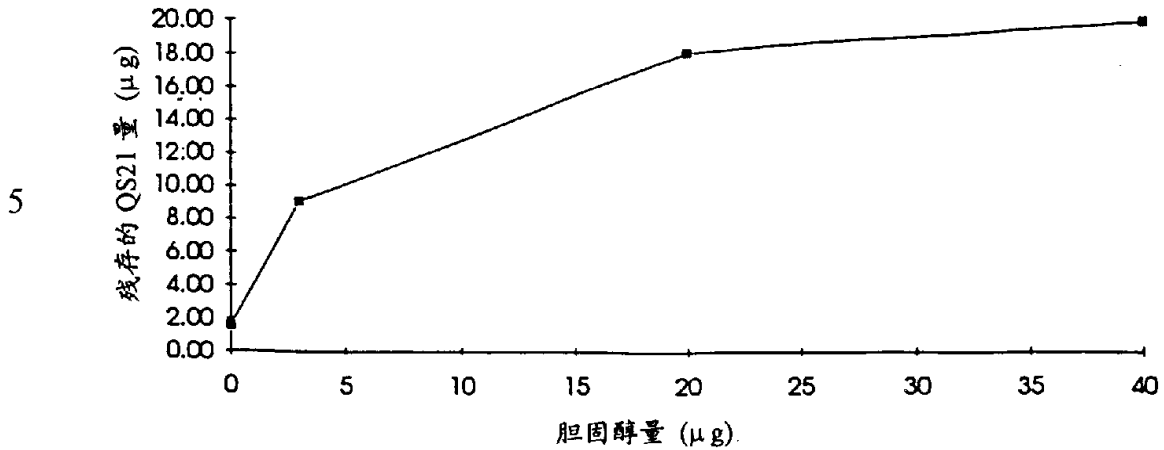
20 QS21 在 pH 约为 7 的环境中极易水解。该水解作用可以在反相 HPLC 上通过检测对应于 QS21 的峰的降低而测定。例如, 下图表明在 pH9 的 37 °C 下, 16 小时内有 90 % 的 QS21 被水解。如果在该 QS21 中以 2: 1 的比率(胆固醇: QS21 W/W)加入含有胆固醇的脂质体, 则在同样的条件下没有检测到水解作用。若比率为 1: 1, 则有 10 % 的 QS21 被降解。

25

30



将 20 $\mu$ g QS21 在含胆固醇的 SUV 存在且 pH9, 37 $^{\circ}$ C 下培育 16 小时



10 可以得出结论的是, 当 QS21 和含有胆固醇的脂质体结合时, 其变得极不易受碱介导的水解作用。据报道, 该水解产物经注射给药, 无佐剂活性, 因而, 含有 QS21 的疫苗必需在酸性 pH 中配制并保藏在 4 $^{\circ}$ C 以维持佐剂组合物。使用脂质体可以避免该项要求。

#### 1.5 反应原性研究:

15 在小鼠胫骨肌注射 5  $\mu$ g QS21(或者洋地黄皂苷)和逐步增加量的脂质体(以胆固醇的  $\mu$ g 表示)。溶解活性表示为相当于 QS21 量( $\mu$ g), 其含义是要达到样品中同样的溶血作用所需的 QS21 的量。

处死动物后, 目测评分注射位点的肌肉的充血, 坏死和毒性状况。

| 配方                       | 水解活性 $\mu$ g | 充血  | 坏死 | 毒性   |
|--------------------------|--------------|-----|----|------|
| 20 QS21 +PBS             | 5            | +++ | ±  | +++  |
| QS21 +1 $\mu$ g胆固醇(SUV)  | 4            | +++ | +  | ++++ |
| QS21 +5 $\mu$ g胆固醇(SUV)  | 0            | -   | -  | ±    |
| 25 QS21+25 $\mu$ g胆固醇SUV | 0            | ±   | -  | +    |
| 单独 SUV                   | 0            | -   | -  | -    |
| 洋地黄皂苷                    | 5            | -   | -  | ±    |
| PBS                      | 0            | -   | -  | -    |

数据显示当溶解活性由于含有胆固醇的脂质体的加入而消除后, 源于 QS21 的毒性也随之消除。

#### 1.6 兔肌肉反应原性



U.I./L 值

| 实验    | 配方              | 第 0 天 | 溶血作用 | 第 1 天 | 溶血作用 | 第 3 天 | 溶血作用 |
|-------|-----------------|-------|------|-------|------|-------|------|
| 兔 n°1 | QS21 50 $\mu$ g | 1078  | ±    | 8650  |      | 1523  |      |
| 兔 n°2 |                 | 1116  |      | 4648  |      | 1435  |      |
| 兔 n°3 |                 | 660   |      | 4819  |      | 684   |      |
| 兔 n°4 |                 | 592   |      | 5662  |      | 684   |      |
| 兔 n°5 |                 | 3400  |      | 7528  |      | 1736  |      |
| 均值    |                 | 1369  |      | 6261  |      | 1212  |      |
| SD    |                 | 1160  |      | 1757  |      | 495   |      |

| 实验     | 配方   | 第 0 天 | 溶血作用 | 第 1 天 | 溶血作用 | 第 3 天 | 溶血作用 |
|--------|--|-------|------|-------|------|-------|------|
| 兔 n°6  | QS21 50 $\mu$ g<br>SUV 内的<br>胆固醇 50 $\mu$ g<br>(1:1) | 596   | ±    | 1670  |      | 460   |      |
| 兔 n°7  |  | 540   |      | 602   |      | 594   |      |
| 兔 n°8  |  | 611   |      | 1873  |      | 803   |      |
| 兔 n°9  |  | 521   |      | 507   |      | 616   |      |
| 兔 n°10 |  | 1092  |      | 787   |      | 555   |      |
| 均值     |  | 672   |      | 1088  |      | 606   |      |
| SD     |  | 238   |      | 636   |      | 125   |      |

| 实验     | 配方  | 第 0 天 |      | 第 1 天 |      | 第 3 天 |      |
|--------|---|-------|------|-------|------|-------|------|
|        |   |       | 溶血作用 |       | 溶血作用 |       | 溶血作用 |
| 兔 n°11 | QS21 50 $\mu$ g<br>SUV 内的<br>胆固醇 150 $\mu$ g<br>(1:3) | 332   |      | 344   |      | 387   |      |
| 兔 n°12 |   | 831   |      | 662   |      | 694   |      |
| 兔 n°13 |   | 464   |      | 356   |      | 519   |      |
| 兔 n°14 |   | 528   |      | 720   |      | 614   |      |
| 兔 n°15 |   | 1027  |      | 568   |      | 849   |      |
| 均值     |   | 637   |      | 530   |      | 613   |      |
| SD     |   | 285   |      | 173   |      | 175   |      |

| 实验     | 配方  | 第 0 天 |      | 第 1 天 |      | 第 3 天  |        |
|--------|---|-------|------|-------|------|--------|--------|
|        |   |       | 溶血作用 |       | 溶血作用 |        | 溶血作用   |
| 兔 n°16 | QS21 50 $\mu$ g<br>SUV 内的<br>胆固醇 250 $\mu$ g<br>(1:5) | 540   |      | 769   |      | 745    |        |
| 兔 n°17 |   | 498   |      | 404   |      | 471    |        |
| 兔 n°18 |   | 442   |      | 717   |      | (4535) |        |
| 兔 n°19 |   | 822   |      | 801   |      | 925    |        |
| 兔 n°20 |   | 3182  | ±    | 2410  |      | 960    |        |
| 均值     |   | 1097  |      | 1020  |      | 775    | (1527) |
| SD     |   | 1175  |      | 793   |      | 224    | (1692) |

| 实验     | 配方  | 第 0 天 |      | 第 1 天  |        | 第 3 天  |        |
|--------|-----|-------|------|--------|--------|--------|--------|
|        |     |       | 溶血作用 |        | 溶血作用   |        | 溶血作用   |
| 兔 n°21 | PBS | 321   |      | 290    |        | 378    |        |
| 兔 n°22 |     | 660   |      | 535    |        | 755    |        |
| 兔 n°23 |     | 650   |      | 603    |        | 473    |        |
| 兔 n°24 |     | 1395  |      | (3545) |        | (5749) |        |
| 兔 n°25 |     | 429   | ±    | 323    |        | 263    |        |
| 均值     |     | 691   |      | 438    | (1059) | 467    | (1523) |
| SD     |     | 419   |      | 155    | (1396) | 210    | (2369) |

数据显示在配方中加入含有胆固醇的脂质体可以显著地降低 QS21 所致的 CPK(肌酸磷酸激酶)升高。由于 CPK 的升高是肌肉损伤的量度, 所以其意味着肌肉损伤的降低且已经组织病毒学证实。

1.7 脂质体 - QS21 的复合物和明矾相结合。

5 将 QS21 和含有过量的胆固醇以及放射性胆固醇的中性脂质体一起培育, 然后, 再和溶于 PBS 中的明矾( $Al(OH)_3$ )一起培育。单独的中性脂质体和 QS21 都不能和溶于 PBS 的明矾相结合, 而带有负电荷的脂质体也不能。然而, 当 QS21 和中性脂质体一起都可以和明矾相结合。该上清液既不含 QS21(苔黑酚试验检测)也不含放射性胆固醇。

10 这表明 QS21 已结合于脂质体且允许该脂质体 - QS21 结合物结合于明矾。这可能产生于由 QS21 加于该脂质体的负电荷, 或者脂质体上的疏水区的暴露。该结果也意味着 QS21 不能从膜中抽提胆固醇。

这表明本发明的组合物可用于基于明矾的疫苗中。

1.8 脂质体样 QS21/MPL 和游离 QS21 + MPL 的抗体及 CMI 诱发的比较

15 用挤压技术制备 SUV(EYPC: 胆固醇: MPL 20: 5: 1)。

对 MPL 外而言, 脂质体在无 MPL 的条件下制备并再以 100nm 的微粒态加入 MPL。

QS21 先于抗原加入。胆固醇: QS21 = 5: 1(W/W)

在抗原加入前, 通过 3 次冻融 SUV 制备 MLV。

20 对捕获抗原而言, 抗原在冻融前加入到 SUV 中并在冻融后加入 QS21。抗原成囊 = 5 % 内, 95 % 外。在小鼠(gD 用 balb/c, RTSs 用 BIOBR)的足垫处注射两次。gD 是来源于单疱疹病毒的糖蛋白。RTSs 是指经过遗传改良而含有一个来源于原生团恶性孢子的抗原表位的乙肝表面抗原(HBsAg)。

25

30



5

| ag = 10 µg RTSs     |      | 强化后 15 天的<br>抗 HBsAg 滴度 |       |       |
|---------------------|------|-------------------------|-------|-------|
| 配方                  |      | IgG1                    | IgG2a | IgG2b |
| SUV/QS + MPL(外)     | + Ag | 1175                    | 10114 | 71753 |
| MLV/QS + MPL(外)     | + Ag | 2247                    | 11170 | 41755 |
| MLV/QS/MPL(内)       | + Ag | 969                     | 7073  | 18827 |
| MLV/QS/MPL(内)/Ag(内) | + Ag | 1812                    | 2853  | 9393  |
| QS + MPL            | + Ag | 372                     | 9294  | 44457 |
|                     | Ag   | <100                    | <100  | <100  |
| SUV/QS + MPL(外)     |      | <100                    | <100  | <100  |
| MLV/QS/MPL(内)       |      | <100                    | <100  | <100  |

10

15

| ag = 20µg gD        |      | 抗<br>gD | CMI                              |                               |
|---------------------|------|---------|----------------------------------|-------------------------------|
| 配方                  |      | IgG     | IFN-γ <sub>6 小时</sub><br>(pg/ml) | IL2 <sub>48 小时</sub><br>pg/ml |
| SUV/QS + MPL(外)     | + Ag | 2347    | 1572                             | 960                           |
| SUV/QS/MPL(内)       | + Ag | 2036    | 1113                             | 15                            |
| MLV/QS + MPL(外)     | + Ag | 1578    | 863                              | 15                            |
| MLV/QS/MPL(内)       | + Ag | 676     | 373                              | 15                            |
| MLV/QS/MPL(内)/Ag(内) | + Ag | 1064    | 715                              | 15                            |
| QS + MPL            | + Ag | 1177    | 764                              | 15                            |
|                     | Ag   | <100    | 567                              | 44                            |
| SUV/QS + MPL(外)     |      | <100    | 181                              | 15                            |
| MLV/QS/MPL(内)       |      | <100    | 814                              | 105                           |

20

25

数据显示: SUV/QS + MPL(外)诱导出至少和 QS21 + MPL 相当的高抗体滴度, 以及诱导出作为细胞介导免疫标记的 IL - 2, 而抑制 QS21 的反应原性。

另外, 用 HSV gD 作抗原在 balb/c 小鼠中对比 QS21 和有胆固醇(SUV)存在的 QS21 第二个实验的结果如下:

30

5

| 配方               | 抗原       | II 后第 7 天同模标本 |              |       |    |       |    |       |    |
|------------------|----------|---------------|--------------|-------|----|-------|----|-------|----|
|                  |          | II 后第 7 天     | II 后第 14 天   | IgG1  |    | IgG2a |    | IgG2b |    |
|                  |          | IgG<br>(GMT)  | IgG<br>(GMT) | μg/ml | %  | μg/ml | %  | μg/ml | %  |
| SUV/QS21 + MPL 外 | gD (5μg) | 20290         | 16343        | 331   | 26 | 716   | 56 | 222   | 17 |
| SUV/QS21/MPL 内   | gD (5μg) | 12566         | 10731        | 418   | 44 | 412   | 44 | 111   | 12 |
| QS21+MPL         | gD (5μg) | 10504         | 10168        | 200   | 34 | 285   | 48 | 107   | 18 |
| SUV/QS21 + MPL 外 | 无        | 0             | 0            | 0     | 0  | 0     | 0  | 0     | 0  |
| QS21             | gD (5μg) | 3468          | 4132         | 156   | 66 | 67    | 28 | 14    | 6  |
| SUV/QS21         | gD (5μg) | 11253         | 11589        | 484   | 57 | 304   | 36 | 65    | 8  |

1.9 比较分别加上脂质体样的 MPL/QS21 和游离的 MPL/QS21 的 gD120

10

脂质体 = 在膜内含 MPL 的 SUV

胆固醇: QS21 = 6: 1

在一次免疫接种后两周检测反应

15

| 配方                | 增殖    | IFN-g<br>ng/ml | IL2<br>pg/ml | IL5<br>pg/ml |
|-------------------|-------|----------------|--------------|--------------|
| SUV/MPL/QS21 + Ag | 12606 | 16.6           | 59           | 476          |
| MPL+QS21+Ag       | 16726 | 15.8           | 60           | 404          |

第二次免疫接种后：

20

| 配方                | 增殖    | IFN-g<br>ng/ml | IL4<br>pg/ml | IL5<br>pg/ml |
|-------------------|-------|----------------|--------------|--------------|
| SUV/MPL/QS21 + Ag | 12606 | 135            | 0            | 250          |
| MPL+QS21+Ag       | 16726 | 60             | 0            | 500          |

数据显示 QS21 和含有胆固醇的脂质体以及 MPL 相结合能诱发出相当于 MPL + QS21 的 Th1/Th0 反应。

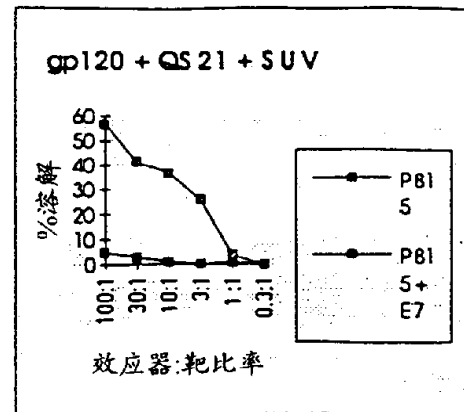
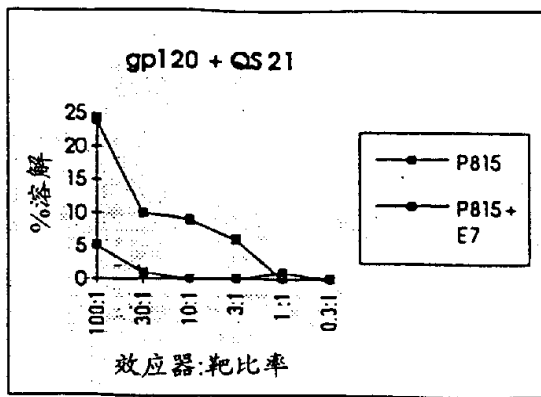
25

在此胆固醇对 QS21 的比率下，QS21 对兔子无毒性(用 CPK 作指标)

在第二个试验中，balb/c 小鼠用有 QS21 或者 QS21 + 含有胆固醇的 SUV 存在的 gD120 足垫注射进行免疫。测定了脾细胞中胞毒 T 淋巴细胞的活性。

30

5



10 这表说明单独的 QS21 诱发 CTL 活性, 而在有含胆固醇的脂质体存在的情况下的 QS21 至少能诱发出和单独的 QS21 相当或者更好的 CTL 活性。

## 2. 疫苗

### 2.1 HBsAgL\*, S 颗粒的配制

HBsAgL\*, S 颗粒可如下配制:

15 将 10 μg HBsAg L\*, S 颗粒/剂在室温下搅拌培育一小时。用注射用水和 PBS 溶液调节该体积并最终用 QS21(10 μg/剂)的水溶液将体积定为 70 μl/剂。pH 维持在 7 ± 0.5。

使用 1 和 50 μg HBsAg L\*, S 可制备类似的配方, 并且还可以使用 HBsAg S 抗原。

这些配方可在旱獭替代治疗模型中用旱獭 HBV 抗原作模型进行检测。

### 20 旱獭模型

DQ QS21(即 QS21/胆固醇或抑制的 QS21)可在长期注射病毒的旱獭的治疗模型中进行检测。具体的旱獭乙肝病毒疫苗可以和如此的 QS21 或者 DQ 混和并且可以带有或者不带 MPL, 其每月均对动物给药, 连续六个月。该疫苗的效应可通过病毒 DNA 的清除率来评估。

### 25 2.2 豚鼠模型(HSV)

#### 2.2.1 预防模型

将 12 只为一组的雌 Hartley 豚鼠用下述配方在零天和第 28 天肌肉注射:  
第一次实验:

- 30 gD 5 μg + QS21 50 μg + 含 50 μg 胆固醇的 SUV
- gD 5 μg + QS21 100 μg + 含 100 μg 胆固醇的 SUV
- gD 5 μg + QS21 50 μg + 含 250 μg 胆固醇的 SUV



gD 5  $\mu$  g + QS21 50  $\mu$  g

第二次实验:

gD 5  $\mu$  g + MPL12.5  $\mu$  g + QS21 12.5  $\mu$  g + 含 62.5  $\mu$  g 胆固醇的 SUV ,  
或者不处理。

- 5 在第二次免疫接种的第 14 和 28 天对动物进行放血, 测定血清中 gD - 特异的 ELISA 抗体滴度。

然后, 用  $10^5$  空斑单位(pfu)的 HSV - 2MS 株阴道注射攻击动物。在第 4 - 12 天每天对动物进行初期疱疹损伤评估。得分如下:

阴道损伤:

- 10 - 流血 = 0.5  
- 充血 1 或 2 天但没有流血 = 0.5  
- 充血并流血 1 天 = 1  
- 充血但没有流血且持续至少 3 天 = 1

外部疱疹水疱:

- 15 - < 4 个小水疱 = 2  
-  $\geq$  4 个小水疱或者一个大水疱  $4 \geq$  4 个大瘤 8 融合瘤 = 16  
- 在全部外生殖区的融合大瘤 = 32

结果如下表所示:

预防模型

实验 1 (chol 是指含有胆固醇的 SUV)

| 数量 | 配方                        | 初期病变          |             |             |          |           |           |    |
|----|---------------------------|---------------|-------------|-------------|----------|-----------|-----------|----|
|    |                           | 无损伤的动物百分数 (%) | 阴道损伤发病率 (%) | 外部损伤发病率 (%) | 初期感染系数** | 相对于对照组的降低 | 损伤严重性* 中数 | 数目 |
| 12 | gD / QS21 50µg            | 50            | 33          | 17          | 73       | 93%       | 1.50      | 6  |
| 11 | gD / QS21 50 µg -chol 1/5 | 64            | 18          | 18          | 67       | 93%       | 2.50      | 4  |
| 12 | gD / QS21 50 µg-chol 1/1  | 100           | 0           | 0           | 0        | 100%      | -         | -  |
| 12 | gD / QS21 50 µg-chol 1/1  | 50            | 33          | 17          | 54       | 95%       | 0.75      | 6  |
| 12 | 未处理                       | 25            | 0           | 75          | 996      | -         | 55.00     | 9  |

实验 2

| 数量 | 配方                    | Ab 滴度 (GMT)            |                     | 初期病变           |                  |                  |              |                   |                    |    |
|----|-----------------------|------------------------|---------------------|----------------|------------------|------------------|--------------|-------------------|--------------------|----|
|    |                       | ELISA<br>第二次<br>后 14 天 | 中和<br>第二次<br>后 28 天 | 无损伤<br>动物<br>% | 阴道损伤<br>发病率<br>% | 外部损伤<br>发病率<br>% | 初次感染<br>系数** | 相对于<br>对照组的<br>降低 | 损伤<br>严重性*<br>中数 n | 数量 |
| 12 | gD / QS21 / SUV / MPL | 47006                  | 449                 | 58.33          | 33.33            | 8.33             | 37.50        | 94%               | 1.00               | 5  |
| 12 | 未处理                   | <400                   | <50                 | 16.67          | 8.33             | 75.00            | 587.50       | -                 | 11.50              | 10 |

\* 感染后 4-12 天内损伤评分的和(无损伤的动物不考虑)

损伤评分: 无损伤(0), 阴道损伤(0.5 或 1), 外部皮肤水泡(2, 4, 8 或 16)

\*\* 初期感染系数=和数(最大得分 i) × (发病率%); 而 i=0, 0.5, 1, 2, 4, 8 或 16



该图表显示出在预防模型中，用 gD/MPL/QS21/SUV 免疫接种诱发了极高水平的对初期病变的预防保护效应。无论是外部损伤发病率还是损伤的严重性在用 gD/MPL/QS21/SUV 免疫接种的动物组中均有极大程度的降低。

### 2.2.2 治疗模型

5 在该治疗模型中，首先用  $10^5$  pfu HSV - 2MS 株攻击雌性的 Hartloy 豚鼠。将带有疱疹损伤的动物再进行随机分组，每组 16 只。

在第 21 天和 42 天，用下列配方之一免疫动物：

- gD + MPL50  $\mu$  g + QS21 50  $\mu$  g + 含 250  $\mu$  g 胆固醇的 SUV

- gD + Al(OH)<sub>3</sub> + MPL50  $\mu$  g + QS21 50  $\mu$  g + 含有 250  $\mu$  g 胆固醇的 SUV

10 或者不处理。

从第 22 - 75 天每天监测动物以评估疾病的复发状况。评分如预防模型中所述。结果如下列图表所示：

治疗模型

| 数量 | 配方                      | 严重性*  |                   | 持续时间** |                   | 发作为例数*** |                   |
|----|-------------------------|-------|-------------------|--------|-------------------|----------|-------------------|
|    |                         | 中数    | 相对于对照组所降低的百分数 (%) | 中数     | 相对于对照组所降低的百分数 (%) | 中数       | 相对于对照组所降低的百分数 (%) |
| 16 | gD+MPL+QS21+S<br>UV     | 9.00  | 43%               | 7.00   | 18%               | 3.00     | 14%               |
| 15 | gD+AI(OH)3+MPL+QS21+SUV | 8.50  | 46%               | 7.00   | 18%               | 3.00     | 14%               |
| 16 | 未处理                     | 15.75 | -                 | 8.50   | -                 | 3.50     | -                 |



\*感染后第 22 - 75 天的损伤得分的和

\*\*感染后第 22 - 75 天, 实验动物复发损伤的总天数

\*\*\*感染后第 22 - 75 天的复发发作数例数。发作在先且在随后的一天无损伤, 其特征是至少有两天的红斑(得分 = 0.5)或者一天的外部水疱(得分 > = 2)

免疫治疗在第 21 天和第 42 天进行。

该结果表明在 HSV - 2 感染的治疗模型中也能诱导出良好的保护水平。用含或不含明矾的 gD/MPL/QS21/SUV 免疫对复发疾病的严重性的中位数产生了显著的影响。它也略微降低了发作病例数和持续时间(见表)。

10